

# ОСОБЕННОСТИ ПЕРЕХОДНЫХ ПРОЦЕССОВ ПРИ ПОДКЛЮЧЕНИИ ТРЕХФАЗНЫХ ЦЕПЕЙ НА ИНДУКТИВНУЮ НАГРУЗКУ

Федоров М.М., Черноус Е.В.

Донецкий национальный технический университет  
 pm@cld.dgtu.donetsk.ua

*It modeling static and dynamic condition of three-phase circuit with inductive load by alternating states method. Received the dependences of circuit dynamyc behaviour from initial phase of voltage source and different range of asymmetric.*

Одним из наиболее распространенных видов нагрузки в трехфазных сетях являются цепи с активно-индуктивным характером (трансформаторы, асинхронные двигатели и пр.). Подключение активно-индуктивных цепей к источникам синусоидального напряжения характеризуется определенными особенностями. Так, в однофазных цепях характер переходных процессов в значительной степени определяется начальной фазой напряжения  $\psi_u$  источника питания и углом  $\phi$  нагрузки. При благоприятных условиях ( $\psi_u - \phi = 0$ ) в цепи сразу после включения наступит установившийся (принужденный) режим [1]. При наиболее неблагоприятных условиях ( $\psi_u - \phi = \pm \pi/2$ ) имеет место тяжелый переходный процесс, когда в цепи возникает ударный ток ( $I_y = 2I_m$ ). Наличие ударного тока сопровождается различными явлениями, предъявляющими оборудованию повышенные требования надежности (увеличение механических усилий в обмотках и др.). В трехфазных цепях необходимо учитывать величину в трех фазах. Кроме того, при наличии различного рода неисправностей в отдельных фазах имеет место несимметричный режим, а величины ударных токов в фазах могут существенно возрасти. Этим вопросам, а также методам расчета и анализа переходных процессов посвящена данная статья.

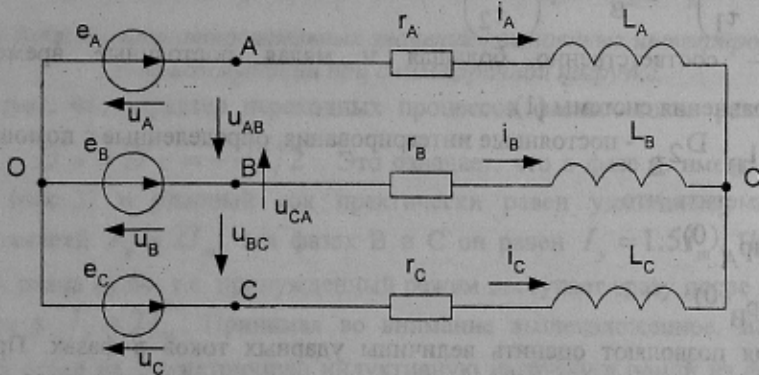


Рис. 1. – Трехфазная цепь с индуктивной нагрузкой

В общем случае трехфазная цепь с активно-индуктивным характером нагрузки изображена на рис. 1. Характерной особенностью данной цепи является индуктивное сечение. При расчете и анализе переходных процессов рационально использовать метод переменных состояния. В качестве переменных состояния выбирают токи двух фаз (например  $i_A$  и  $i_B$ ). Система дифференциальных уравнений состояния, составленных по законам Кирхгофа, и записанная в форме Коши, имеет вид [2]:

$$\begin{cases} \frac{d}{dt} i_A = a_{11} \cdot i_A + a_{12} \cdot i_B + b_{11} \cdot u_{AC} + b_{12} \cdot u_{BC} \\ \frac{d}{dt} i_B = a_{21} \cdot i_A + a_{22} \cdot i_B + b_{21} \cdot u_{AC} + b_{22} \cdot u_{BC} \\ i_C = -(i_A + i_B) \end{cases} \quad (1)$$

где:  $a_{11} = -\frac{r_A \cdot (L_B + L_C) + r_C \cdot L_B}{L^2}$ ;  $a_{12} = \frac{r_B \cdot L_C - r_C \cdot L_C}{L^2}$ ;

$$a_{21} = \frac{r_A \cdot L_C - r_C \cdot L_A}{L^2}; \quad a_{22} = \frac{r_B \cdot (L_A + L_C) + r_C \cdot L_A}{L^2};$$

$$b_{11} = \frac{L_B + L_C}{L^2}; \quad b_{12} = -\frac{L_C}{L^2}; \quad b_{21} = -\frac{L_C}{L^2}; \quad b_{22} = \frac{L_A + L_C}{L^2};$$

$$L^2 = L_A \cdot L_B + L_B \cdot L_C + L_C \cdot L_A.$$

Принимая во внимание то, что уравнения состояния записаны в форме Коши, при их решении удобно использовать численные методы. Однако для более глубокого и качественного анализа характера переходных процессов предпочтительно использовать расчеты с получением аналитического выражения переменных состояния. Подобный подход позволяет более точно и наглядно оценить влияние различных параметров трехфазной цепи на характер переходных процессов. В работе использован известный классический метод решения задач на переходные процессы, в результате которого решение представляется в виде суммы принужденной и свободной составляющих переменных состояния [1]. Выражения для принужденных составляющих можно получить из уравнений состояния, записанных в комплексной форме, и, решив их символическим методом [1]. Как функции времени принужденные составляющие записываются в виде:

$$i_{прА} = I_{mА} \cdot \sin(\omega t + \psi_{iА});$$

$$i_{прВ} = I_{mВ} \cdot \sin(\omega t + \psi_{iВ}).$$

Выражения свободных составляющих:

$$i_{свА} = D_{1А} \exp\left(-\frac{t}{\tau_1}\right) + D_{2А} \cdot \exp\left(-\frac{t}{\tau_2}\right)$$

$$i_{свВ} = D_{1В} \cdot \exp\left(-\frac{t}{\tau_1}\right) + D_{2В} \cdot \exp\left(-\frac{t}{\tau_2}\right)$$

где:  $\tau_1, \tau_2$  - соответственно большая и малая постоянные времени, определяемые из характеристического уравнения системы (1);

$D_{1А}, D_{2А}, D_{1В}, D_{2В}$  - постоянные интегрирования, определенные с помощью начальных условий.

Необходимо отметить, что

$$D_{1А} + D_{2А} = i_{прА}(0);$$

$$D_{1В} + D_{2В} = i_{прВ}(0).$$

Эти выражения позволяют оценить величины ударных токов в фазах. При тяжелых переходных процессах, когда  $|\psi_{iА}| = |\psi_{iВ}| = \frac{\pi}{2}$ , величины ударных токов будут соответственно равны  $I_{yА} = 2I_{mА}$  и  $I_{yВ} = 2I_{mВ}$ . Длительность воздействия ударных токов определяется величинами постоянных времени  $\tau_1$  и  $\tau_2$

а так же их отношением. Длительность переходных процессов  $t_{пп}$  можно принять равной  $t_{пп} = 4\tau$ . Обычно для силовых катушек это означает (30 .. 100) периодов колебаний напряжения промышленной частоты. Если

$$\frac{\tau_1}{\tau_2} < (2..4),$$

то длительность воздействия ударных токов можно считать равной  $\tau_1$ . При больших соотношениях постоянных времени для оценки величины и длительности воздействия ударных токов необходимо учитывать значения постоянных интегрирования.

Особенности переходных процессов при включении трехфазных цепей с различными симметричной и несимметричными нагрузками рассмотрим на конкретных примерах. В основе используем силовую трехфазную катушку с параметрами (рис. 1)  $r_A = r_B = r_C = 6 \text{ Ом}$  и  $L_A = L_B = L_C = 1 \text{ Гн}$ . Катушка подключается к симметричному источнику трехфазного напряжения  $u_A = \sqrt{2} \cdot 380 \cdot \sin(\omega t + \psi_u)$ . Начальная фаза  $\psi_u$  напряжения  $u_A$  может изменяться в пределах  $0 .. 2\pi$  и соответственно изменяются напряжения  $u_B, u_C$ .

В симметричном режиме значения принужденных составляющих фазных токов равны

$I_{пр} = I_{прA} = I_{прB} = I_{прC} = 0.7A$ . Порядок системы уравнений состояния (1) понижается до первого, поэтому выражения свободных составляющих имеют вид:

$$i_{свA} = D_A \cdot \exp\left(-\frac{t}{\tau}\right); \quad i_{свB} = D_B \cdot \exp\left(-\frac{t}{\tau}\right); \quad i_{свC} = D_C \cdot \exp\left(-\frac{t}{\tau}\right).$$

Здесь постоянная времени  $\tau = \frac{L}{r} = 0.167$  с. Постоянные интегрирования при нулевых начальных условиях соответственно равны:

$$D_A = -i_{прA}(0); \quad D_B = -i_{прB}(0); \quad D_C = -i_{прC}(0).$$

Их величины определяются  $I_{пр}$  и  $\psi_u$ . На рис. 2 приведены относительные значения постоянных интегрирования

$$D^*_A = \frac{D_A}{I_{пр}} \quad D^*_B = \frac{D_B}{I_{пр}} \quad D^*_C = \frac{D_C}{I_{пр}}$$

как функции угла коммутации  $\psi_u$ .

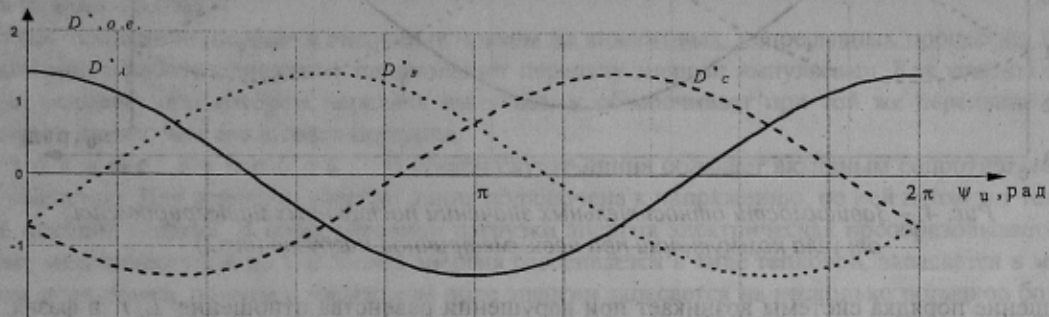


Рис. 2. – Зависимости относительных значений постоянных интегрирования от угла коммутации при симметричной нагрузке.

Из рис. 2 следует, что характер переходных процессов фазных токов различен. Так, при  $\psi_u = 0$  величина  $D^*_A = \sqrt{2}$ , а  $D^*_B = D^*_C = -\sqrt{2}/2$ . Это означает, что в фазе А имеет место наиболее тяжелый переходный процесс (рис. 3) и ударный ток практически равен удвоенному амплитудному значению принужденной составляющей  $I_y = 2I_m$ , а в фазах В и С он равен  $I_y = 1.5I_m$ . При  $\psi_u = \pi/2$  свободная составляющая в фазе А равна нулю, т.е. принужденный режим наступает сразу после коммутации. В фазах В и С ударный ток близок к  $I_y = 2I_m$ . Принимая во внимание вышеизложенное, можно отметить, что при включении трехфазных сетей на симметричную индуктивную нагрузку в одной из фаз ударный ток близок к  $I_y = 2I_m$  при любом значении  $\psi_u$ .

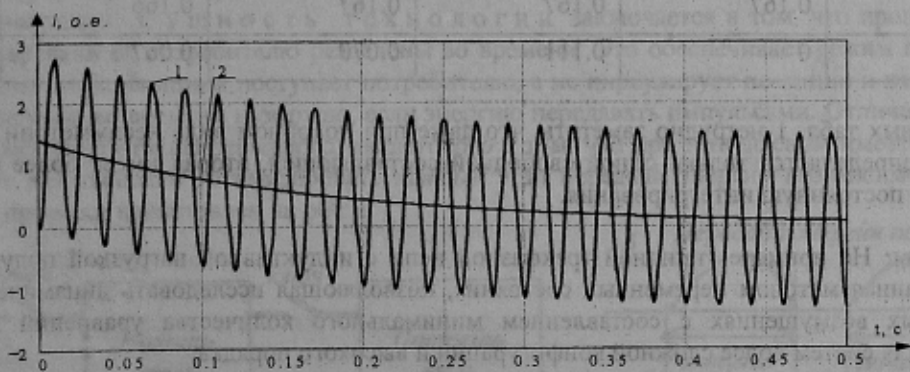


Рис. 3. – Переходный процесс тока фазы А при включении трехфазной цепи на симметричную индуктивную нагрузку при  $\psi_u = 0$ .

Несимметричные режимы рассмотрим на примере включения трехфазных катушек с различного рода неисправностями. Так при витковых замыканиях сопротивления поврежденных фаз уменьшаются, а при обрыве параллельных ветвей соответственно возрастает.

Из расчетов следует, что при пропорциональном изменении активного сопротивления и индуктивности в фазах катушки порядок системы остается равным единице, так же как и в симметричном режиме. Более того, значение корня характеристического уравнения не изменяется, что говорит о неизменности характера переходного процесса. Такие неисправности влияют лишь на установившийся режим – при межвитковых замыканиях фазные токи увеличиваются и соответственно уменьшаются при обрыве параллельных ветвей. Об ударных значениях тока можно судить по величине постоянных интегрирования. На рис. 4 приведены зависимости постоянных интегрирования от угла коммутации для случая, когда сопротивление одной из фаз (в данном случае фазы А) уменьшено в 2 раза. При подобных повреждениях наибольшую токовую нагрузку, в динамике превышающую четырехкратное значение принужденной составляющей, испытывает поврежденная фаза при выполнении условия  $\psi_u = 0 \pm n\pi$  (самый неблагоприятный угол коммутации, соответствующий наибольшим значениям постоянной интегрирования тока поврежденной фазы).

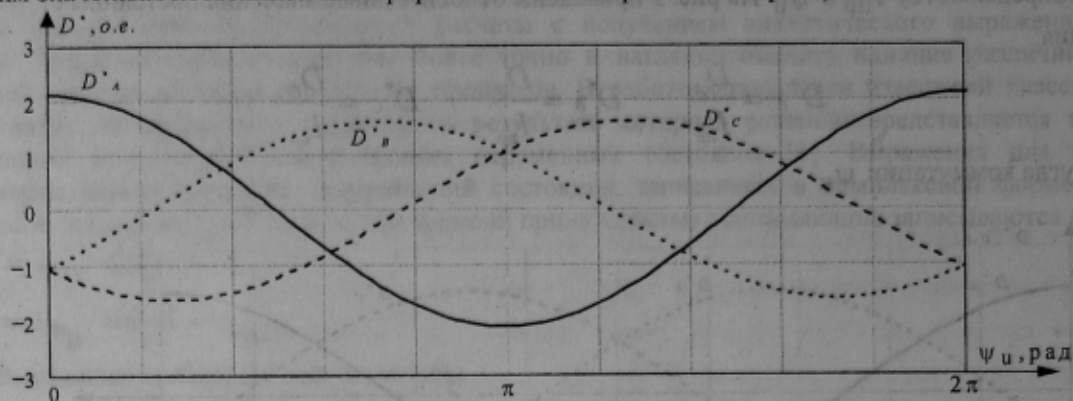


Рис. 4. – Зависимости относительных значений постоянных интегрирования от угла коммутации при несимметричной нагрузке ( $m=2$ ).

Повышение порядка системы возникает при нарушении равенства отношения  $L/r$  в фазах. К примеру, авторами смоделирован режим понижения только лишь индуктивности в одной из фаз для угла коммутации  $\psi_u = 0$ . Данные этого исследования сведены в табл. 1.

Таблица 1.

Характеристики переходных процессов несимметричной трехфазной цепи при включении.

| m         | 1     | 2     | 5     | 10    | режим КЗ |
|-----------|-------|-------|-------|-------|----------|
| $I_A^*$   | 1     | 1.50  | 2.14  | 2.50  | 3.00     |
| $I_B^*$   | 1     | 1.15  | 1.40  | 1.54  | 1.73     |
| $I_C^*$   | 1     | 1.14  | 1.36  | 1.50  | 1.73     |
| $I_{Aуд}$ | 2.89  | 4.24  | 6.06  | 7.07  | 8.49     |
| $I_{Bуд}$ | 2.89  | 3.26  | 3.94  | 4.36  | 4.90     |
| $I_{Cуд}$ | 2.89  | 3.23  | 3.86  | 4.24  | 4.90     |
| $\tau_1$  | 0.167 | 0.167 | 0.167 | 0.166 | 0.167    |
| $\tau_2$  | 0     | 0.111 | 0.070 | 0.067 | 0        |

Из данных табл. 1 нетрудно заметить, что даже при подобном виде несимметрии переходный процесс практически определяется только одной свободной составляющей, вторая имеет более быстрое затухание и весьма малую постоянную интегрирования.

**Выводы:** На примере типичной трехфазной цепи с индуктивной нагрузкой получена математическая модель, описанная методом переменных состояния, позволяющая исследовать динамические свойства цепей при различных возмущениях с составлением минимального количества уравнений. Метод может быть использован для систем более сложной конфигурации и высокого порядка.

#### ЛИТЕРАТУРА.

1. Основы теории цепей / Атабеков Г.И. / – М.: Энергия, 1989. – 424 с.
2. Федоров М.М. Особенности формирования уравнений состояния в различных электрических сетях / Взрывозащищенное электрооборудование: сб. научн. трудов УкрНИИВЭ. – Донецк: ООО «Юго-Восток, Лтд.» 2004. – с. 33-37.